

Cálculos estáticos das fundações de um edifício com 12 pavimentos

Oswaldo Moura Abreu

Eng. Auxiliar da 3.^a Secção Técnica

SUMÁRIO

1. — Cálculo das cargas axiais dos pilares, nas fundações.
2. — Dimensionamento e locação dos pilares com todas as cótas referidas aos alinhamentos e divisas.
3. — Fundações diréttas, para σ (sólo) = 2.5 kg/cm².
Estudo detalhado dos diferentes blócos com dimensionamento definitivo, inclusive estudo das armaduras.
Detalhe de execução das fôrmas das fundações, em planta.
4. — Fundações sobre estacas (Franki ou Vibro).
Estudo detalhado de algumas fundações sobre estacas.
Detalhe de execução das fôrmas das fundações, em planta e locação das estacas.
5. — Medição dos volumes de concreto armado, nos dois casos considerados, e ligeira comparação sobre o custo de execução.

Preliminares

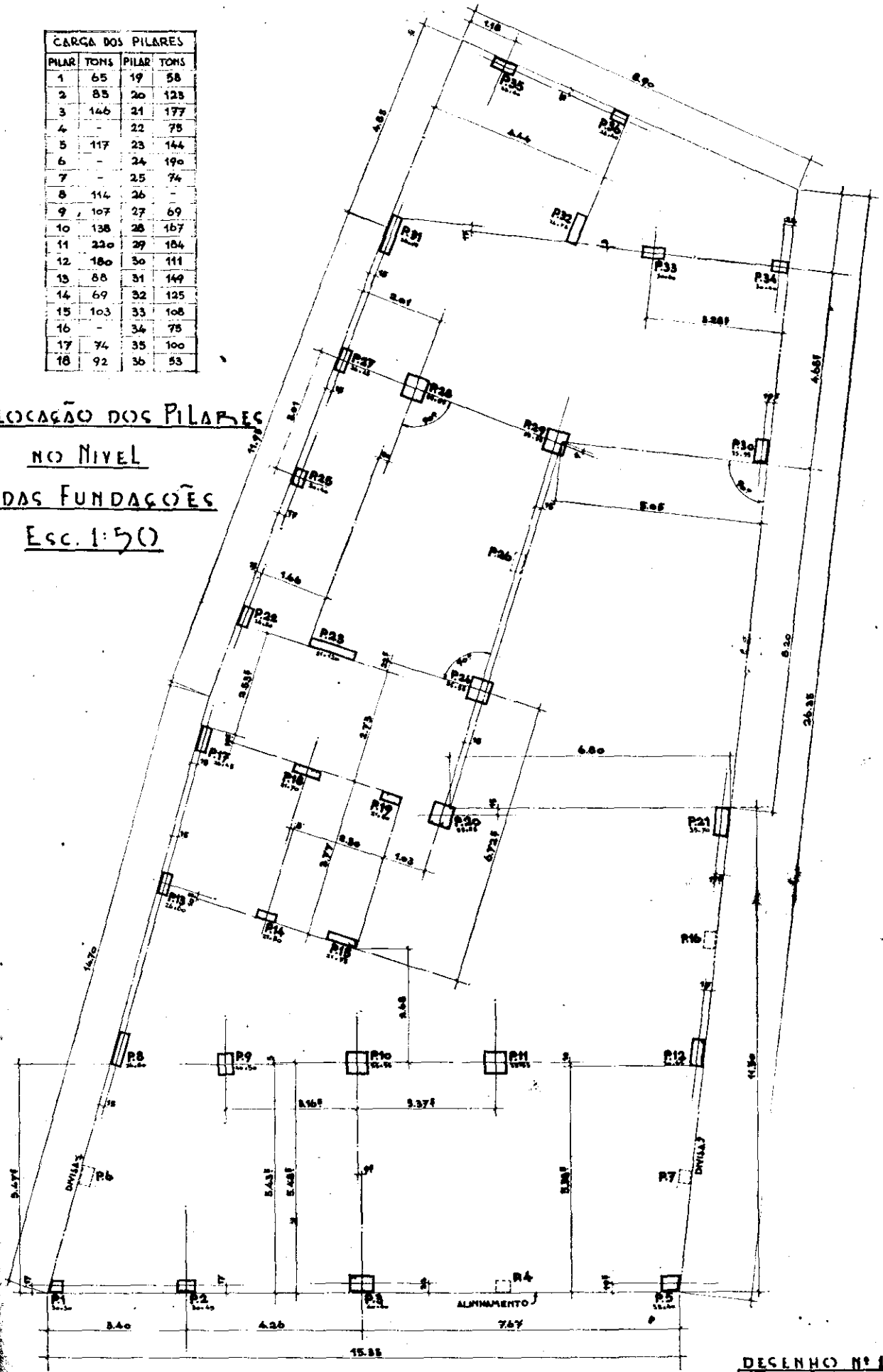
1. — Dispensamo-nos de apresentar o cálculo detalhado das cargas dos pilares nas fundações, o qual será matéria de outro artigo, esclarecendo sómente que foram obtidas partindo das reações das vigas do tétto tipo, nos diferentes pilares.
2. — Com as cargas calculadas e consideradas as condições arquitetônicas, resultaram as dimensões dos pilares no nível das fundações. No desenho n.º 1, ao lado constam os diversos pilares locados com cótas referidas aos alinhamentos e divisas, com as respectivas dimensões e cargas.

3. — Fundações Diréttas

Partindo do desenho n.º 1, estudámos os vários blócos e alavancas, para o caso de fundações diréttas determinando os demais elementos, e obtendo a planta geral das fundações (desenho n. 2).

CARGA DOS PILARES			
PILAR	TONS	PILAR	TONS
1	65	19	58
2	85	20	123
3	146	21	177
4	-	22	75
5	117	23	144
6	-	24	190
7	-	25	74
8	114	26	-
9	107	27	69
10	138	28	167
11	230	29	164
12	180	30	111
13	88	31	149
14	69	32	125
15	103	33	108
16	-	34	75
17	74	35	100
18	92	36	53

LOCALIÇÃO DOS PILARES
NO NIVEL
DAS FUNDACOES
Esc. 1:50



Fundação $P_1 - P_2$

$$P_1 = 65 \text{ t} \quad P_2 = 85 \text{ t} \quad R = P_1 + P_2 = 150 \text{ toneladas}$$

Distancia l entre os eixos dos pilares: $l = 3.20 \text{ m}$

x da resultante R , referida ao eixo do pilar P_1 :

$$x = \frac{85 \times 3.20}{150} = 1.813 \text{ m}$$

Dimensionamento da placa:

$$B = 2 (1.813 + 0.17) = 3.966 \text{ m} \quad A = 1.60 \text{ m (fixada)}$$

$$\text{Resulta: } S = A \times B = 1.60 \times 3.966 = 6.40 \text{ m}^2$$

$$\text{Logo, } \sigma \text{ (s\u00f3lo)} = \frac{150}{6.40} = 23.5 \text{ t/m}^2 = 2.35 \text{ kg/cm}^2 \text{ (fig. 1)}$$

$$\text{C\u00e1lculo da viga - Carga por metro linear: } q = \frac{150}{3.966} = 38 \text{ t/m}$$

Momentos flectores

$$\text{Nos balan\u00e7os: } \begin{cases} M_1 = 1/2 \times 0.17^2 \times 38 = -0.549 \text{ t.m} \\ M_2 = 1/2 \times (1.983 - 1.387) \times 38 = -6.84 \text{ t.m} \end{cases}$$

Momento da viga simplesmente apoiada, com $l = 3.20 \text{ m}$

$$M_0 = 1/8 \times 38 \times 3.2^2 = 48.64 \text{ t.m}$$

Esfor\u00e7os cortantes

$$\begin{array}{l} Q_1 = 0.170 \times 38 = 6.45 \text{ t} \\ Q_2 = 0.603 \times 38 = 22.80 \text{ t} \end{array} \left| \begin{array}{l} A = 65.00 - 6.45 = 58.55 \text{ t} \\ B = 85.00 - 22.8 = 62.20 \text{ t} \end{array} \right.$$

Momento flector em uma sec\u00e7\u00e3o X , referida ao eixo do pilar P_1

$$M_x = - \frac{0.17^2 \times 38}{2} + (P_1 - Q_1) x - \frac{qx^2}{2}$$

$$M_x = -0.549 + 58.55x - 19x^2$$

O momento m\u00e1ximo verifica-se quando o esfor\u00e7o cortante \u00e9 nulo ou:

$$Q_x = 58.55 - 38x = 0 \quad \therefore \quad x = \frac{58.55}{38} = 1.54 \text{ m.}$$

Logo:

$$\begin{aligned} M_m &= -0.549 + 58.55 \times 1.54 - 19 \times 1.54^2 \\ &= -0.549 + 90.16 - 45.0 = +44.60 \text{ t.m} \end{aligned}$$

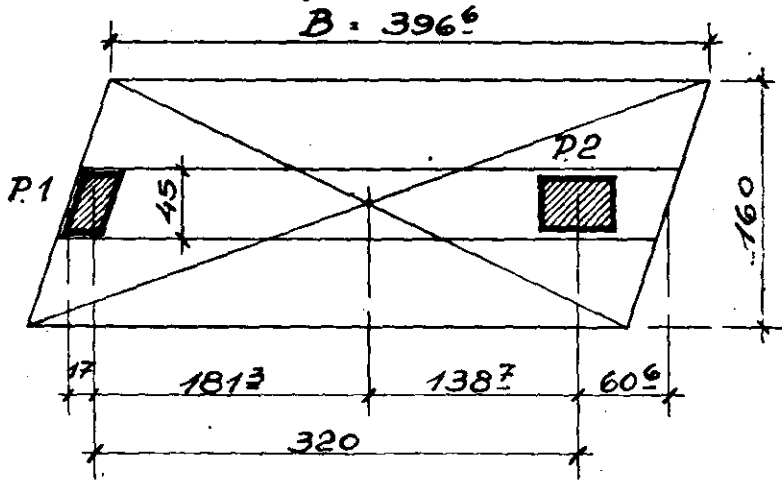
Pelas tabelas de *L\u00f6ser* - 1940, fixando $b = 45 \text{ cm}$ e $H = 1.10 \text{ m}$, para

$$M_m = +44.60 \text{ t.m}$$

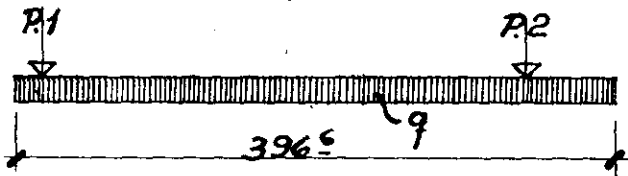
$$K_2 = \frac{105}{\sqrt{\frac{44.6}{0.45}}} = 10.50 \quad \left. \begin{array}{l} \sigma_c = 57 \text{ kg/cm}^2 \\ \sigma_f = 1.500 \text{ kg/cm}^2. \end{array} \right\}$$

$$S_{fe} = \frac{0.758 \times 44.6}{1.05} = 32.0 \text{ cm}^2 = 8\text{v}7/8''$$

FUNDAÇÃO P.1 E P.2

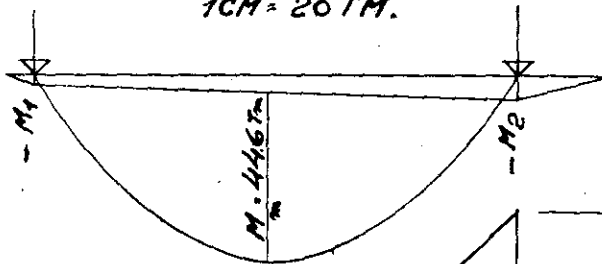


CARGAS



MOMENTOS FLETORES

1CM = 20 TM.



ESFORÇOS CORTANTES

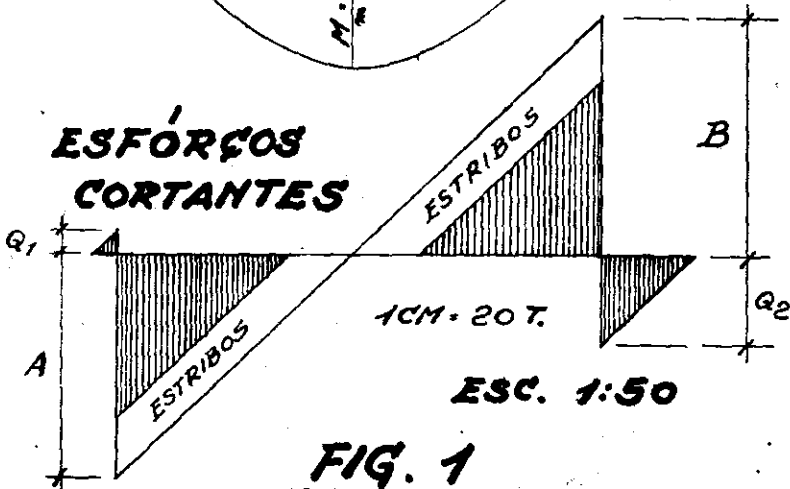
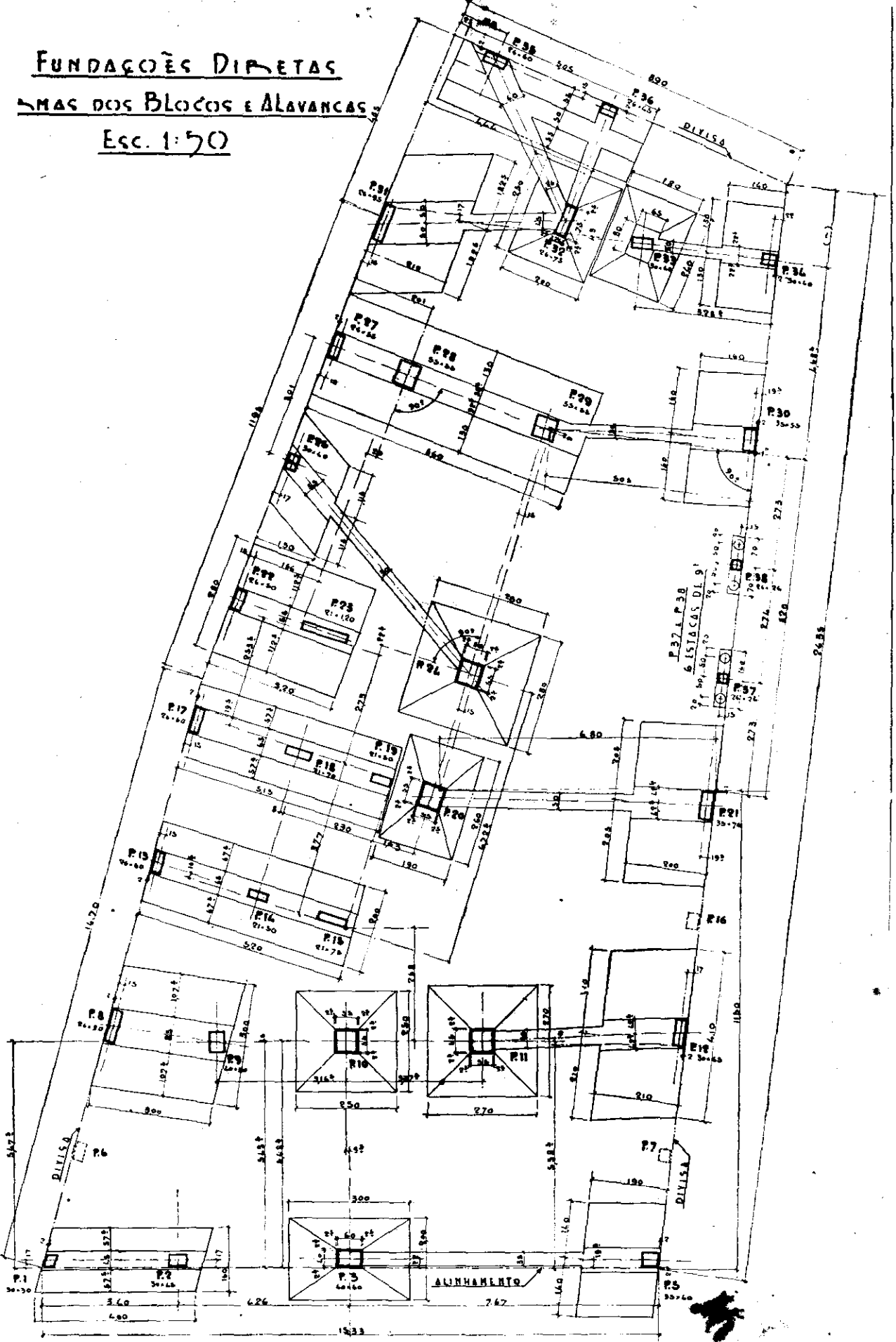


FIG. 1

FUNDAÇÕES DIRETAS

PLANOS DOS BLOCOS E ALAVANCAS

Esc. 1:50



NIVEL DE REFERENCIA
± 0,00 NA GUIA DO PASSEIO

DESENHO Nº 2

Si consideramos o caso de uma viga T com lage de espessura média $d = 25$ cm, ainda pelas tabelas de Löser \therefore

$$\varphi = \frac{d}{h} = \frac{25}{105} = 0.238$$

$$\sigma_c = 45 \text{ kg/cm}^2 \quad \sigma_f = 1.500 \text{ kg/cm}^2$$

$$S_{fe} = \frac{0.735 \times 44.6}{1.05} = 31.5 \text{ cm}^2 \text{ ou ainda } = 8\phi 7/8''$$

Na armação usaremos $8\phi 7/8''$ e $1\phi 5/8''$ central, para guia dos estribos duplos.

SECÇÃO TRANSVERSAL DA FUNDAÇÃO P.1-P.2

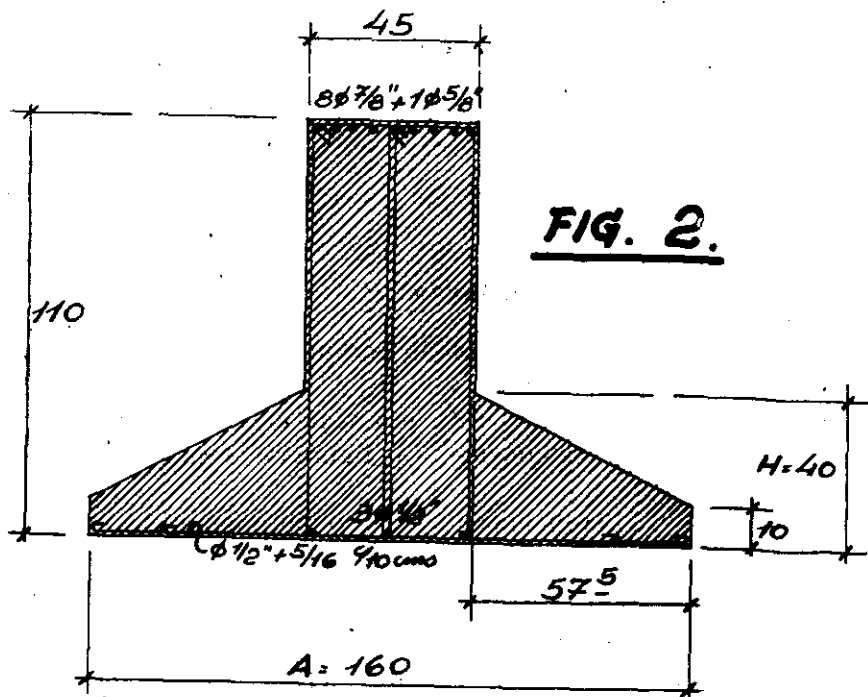


FIG. 2.

ESC. 1:20

Cizalhamento

Inicialmente esclarecemos que possuímos tabelas completas que nos fornecem os esforços cortantes absorvidos pelos estribos, por metro linear de viga, e os esforços cortantes absorvidos por barras curvadas, atribuindo para σ_f valores desde 1200 até 1.500 kg/cm².

Para o caso presente temos o esforço cortante máximo $B = 66.2t$, resultando

$\tau_B \cong \frac{62.200}{45 \times 0.9 \times 105} = 14.7 \text{ kg/cm}^2$. Logo, o esforço cortante deverá ser absorvido por estribos e barras curvadas.

Esforço cortante total $T \cong \frac{62.2 \times 1.66}{2 \times 0.9 \times 1.05} = 54$ toneladas, absorvido por:

Estribos duplos $\phi 3/8''$ c/25 cm = 28 toneladas
 4 $\phi 7/8''$ curvados = 33 " ,
 61 > 54 toneladas

Cálculo da placa (para 1 metro linear).

$Q = 23.5 \times 0.575 = 13.6$ toneladas. Adotando $\tau = 6.0 \text{ kg/cm}^2$

(altura util) $h = \frac{13.600}{6 \times 0.9 \times 100} = 25 \text{ cm}$.

Preferimos, entretanto, $H = 40 \text{ cm}$. Resulta

Momento flector: $M = 1/2 \times 23.5 \times 0.575^2 = 3.9 \text{ t.m}$

$K_2 = \frac{35}{\sqrt{3.9}} = 17.5$ Logo, pela fórmula da flexão simples:

$S_{fe} = \frac{3.9}{1.5 \times 0.9 \times 0.35} = 8.4 \text{ cm}^2 = \phi 1/2'' + \phi 5/16''$ c/10 cm.

Fundação $P_3 - P_5$

As duas fundações são ligadas por uma alavanca para evitar a excentricidade do pilar P_5 .

As bases dos pilares P_3 e P_5 e a viga alavanca serão calculadas e dimensionadas separadamente. A figura 3 representa o sistema adotado.

Cargas $P_3 = 117$ toneladas $P_5 = 146$ toneladas

Cálculo da resultante: $R = \frac{117 \times 7.43}{6.72} = 130$ toneladas

Reação da viga: $B = 130 - 117 = 13$ toneladas

A reação B deverá ser deduzida quando considerarmos a fundação P_3 .

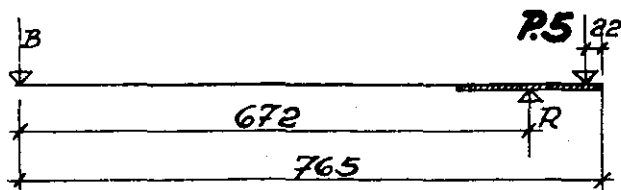
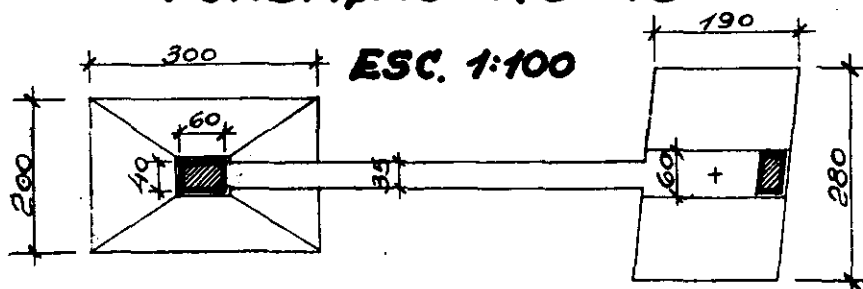
Momentos flectores

$M = P \times 0.75 = 117 \times 0.75 = 88.0 \text{ t.m}$

Momento flector máximo a ser considerado:

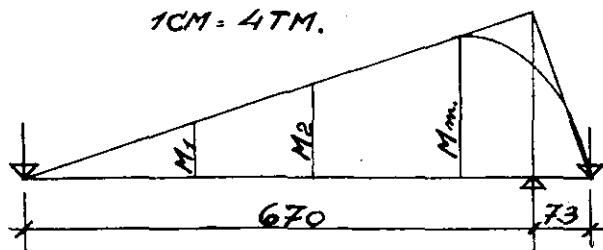
$M_m = (6.72 - 0.95) \times 13 = 75.0 \text{ t.m}$ (Figura 3)

FUNDAÇÃO P.3-P.5



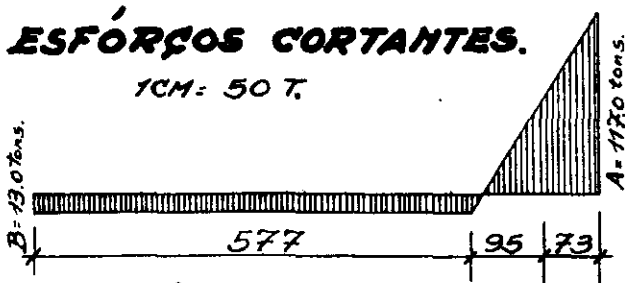
MOMENTOS FLETORES.

1CM = 4TM.



ESFORÇOS CORTANTES.

1CM = 50 T.



ESQUEMA DA ARMADURA.

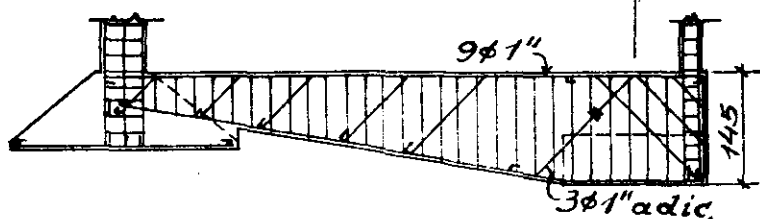


FIG. 3

Cálculo da viga:

As dimensões máximas e mínimas estão fixadas variando desde (35 × 145) até (35 × 60), junto á placa P_3 . Considerando várias secções, obtivemos os seguintes resultados usando as tabelas de Löser:

$$\text{Para } M_m = 75 \text{ t.m; viga } = (35 \times 145); K_2 = \frac{140}{\sqrt{\frac{75}{0.35}}} = 9.3 \left. \begin{array}{l} \sigma_c = 66 \text{ kg/cm}^2 \\ \sigma_f = 1500 \text{ kg/cm}^2 \end{array} \right\}$$

$$S_{fe} = 0.768 \times \frac{75}{1.4} = 42.0 \text{ cm}^2 = 9 \phi 1''$$

$$\text{Para } M_1 = 46 \text{ t.m; viga } = (35 \times 110); K_2 = \frac{105}{\sqrt{\frac{46}{0.35}}} = 9.3 \left. \begin{array}{l} \sigma_c = 66.0 \text{ kg/cm}^2 \\ \sigma_f = 1500 \text{ kg/cm}^2 \end{array} \right\}$$

$$S_{fe} = 0.768 \times \frac{46}{1.05} = 33.5 \text{ cm}^2 = 7 \phi 1''$$

$$\text{Para } M_2 = 25 \text{ t.m; viga } (35 \times 80); K_2 = \frac{75}{\sqrt{\frac{25}{0.35}}} = 8.9 \left. \begin{array}{l} \sigma_c = 70 \text{ kg/cm}^2 \\ \sigma_f = 1500 \text{ kg/cm}^2 \end{array} \right\}$$

$$S_{fe} = 0.773 \times \frac{25}{0.75} = 26.0 \text{ cm}^2 = 6 \phi 1''$$

Cizalhamento

$$\tau_A \cong \frac{117.000}{140 \times 60 \times 0.9} \cong 15.6 \text{ kg/cm}^2$$

O esforço cortante total T deverá ser absorvido por barras curvadas.

$$T = \frac{117 \times 0.55}{0.9 \times 1.40} \cong 50.0 \text{ t ou } \sim 5 \phi 1'' \text{ curvadas.}$$

$$\tau_B = \frac{13.000}{35 \times 55 \times 0.9} = 7.4 \text{ kg/cm}^2.$$

Usaremos estribos $\phi 5/16''$ c/25 e dobraremos as barras quando não mais necessárias.

Cálculo da placa P_3

$$R = 130 \text{ toneladas} \quad S = 1.90 \times 2.80 \text{ (fixada)}$$

$$\text{Resulta: } \sigma_s = \frac{130}{1.90 \times 2.80} = 24.5 \text{ t/m}^2 = 2.45 \text{ kg/cm}^2$$

Altura da placa junto à viga principal: $H = 70 \text{ cm.}$

Cizalhamento

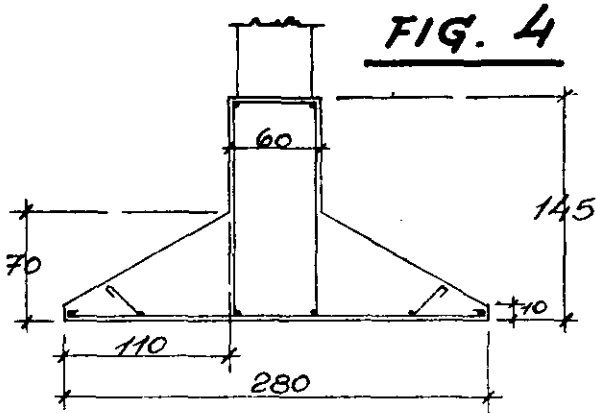
$$\tau \cong \frac{1.10 \times 24.5 \times 1.00}{0.65 \times 1.00 \times 0.9} \cong 46 \text{ t/m}^2 = 4.6 \text{ kg/cm}^2.$$

Momento flector máximo: $M = 1/2 \times 1.10^2 \times 24.5 = 14.8 \text{ t.m}$

$$\left. \begin{array}{l} \sigma_c = 31.5 \text{ kg/cm}^2 \\ \sigma_f = 1.500 \text{ kg/cm}^2 \end{array} \right\} K_s = \frac{65}{\sqrt{14.8}} = 17.0; S_{fe} = \frac{0.724 \times 14.8}{65} = 16.5 \text{ cm}^2$$

$$S_{fe} = \phi 5/8'' \text{ c}/11.5 \text{ cm}$$

(Vide abaixo secção transversal da placa P_5)



SECÇÃO TRANSVERSAL DA FUNDAÇÃO P.5 ESC. 1:50

Fundação P_5

$P = 146$ toneladas. A rigor, podemos deduzir a reação produzida pela alavanca: $B = 13$ toneladas.

Logo:

$$P = 146 - 13 = 133 \text{ toneladas.}$$

Dimensões calculadas do pilar P_3 na fundação: $b \times d = 40 \times 60$

Dimensionamento da placa: (Vide figura 5)

$$S = 2.0 \times 3.0 = 6.0 \text{ m}^2 \quad \sigma_s = \frac{136}{6} = 22.2 \text{ t/m}^2$$

A altura H calcula-se considerando a punção do pilar P_3 .

Para $\tau = 8.0 \text{ kg/cm}^2$

$$h = \frac{133.000}{2(40 + 60) \times 8} = 0.83 \text{ m. Adotamos } H = 1.00 \text{ m.}$$

Armadura: Prevista em diagonal para o momento flector

$$M_x = \frac{m \times n \times \sigma_s \times a}{2} = \frac{2.35 \times 1.55 \times 22.2 \times 0.5}{2} = 20.3 \text{ t.m}$$

Pela fórmula da flexão simples, $S_{fe} = \frac{M_{\alpha}}{\sigma_f \times z} = \frac{20.3}{1.5 \times 0.84 \times 0.95}$
 $S_{fe} = 17.8 \text{ cm}^2$

Usamos 8 Φ 3/4" em diagonal com $S_{fe} = 22.8 \text{ cm}^2$

FUNDAÇÃO P.3

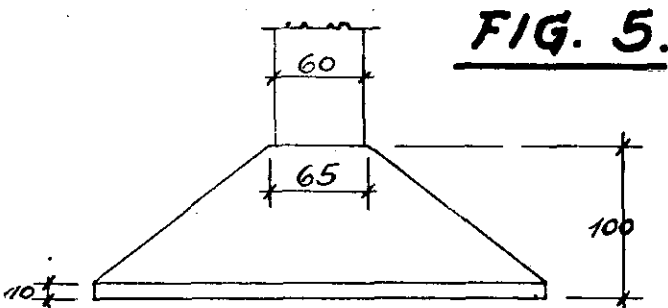
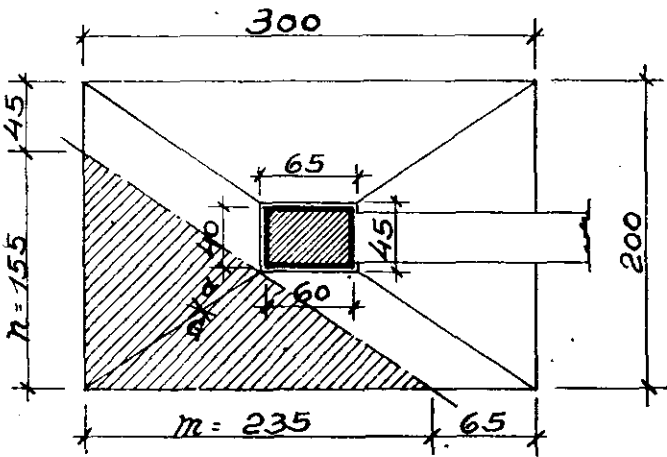


FIG. 5.

Fundação $P_8 - P_9$

Cargas

$$P_8 = 114 \text{ t} \quad P_9 = 107 \text{ t} \quad R = P_8 + P_9 = 221 \text{ toneladas}$$

Dimensionamento da sapata: $S = 3.0 \times 3.0 = 9.0 \text{ m}^2$

$$\text{Logo: } \sigma_s = \frac{221}{9} = 24.5 \text{ t/m}^2 = 2.45 \text{ kg/cm}^2$$

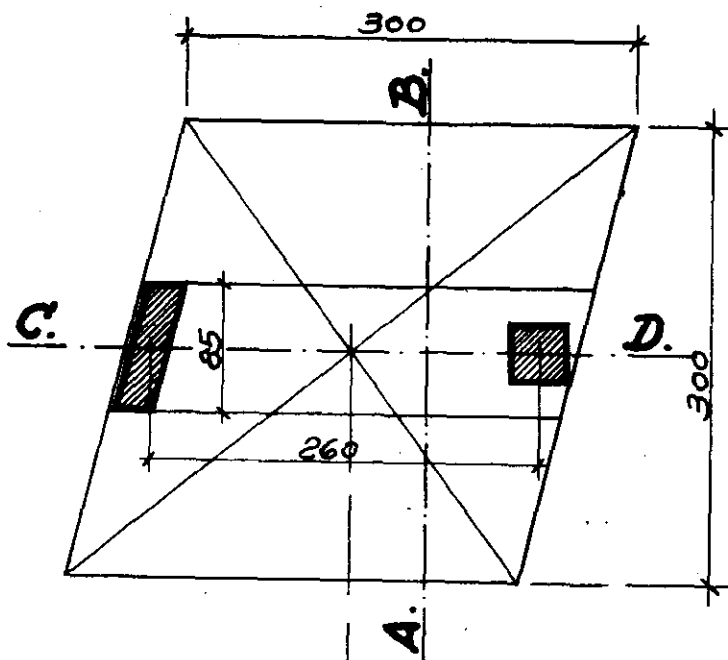
Viga principal: $b = 85 \text{ cm}$ e $H = 110 \text{ cm}$

Carga por metro linear $q = 24.5 \times 3 = 73.5 \text{ t/m}$

Momento flector da viga simplesmente apoiada com $l = 2.55 \text{ m}$

$$M_0 = 1/8 \times 73.5 \times 2.55^2 = 59.5 \text{ t. m}$$

FUNDAÇÃO P. 8 E P. 9.



ESC. 1:50.

ESQUEMA DA ARMADURA

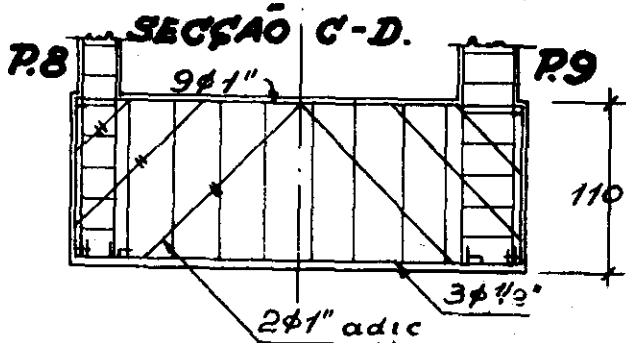
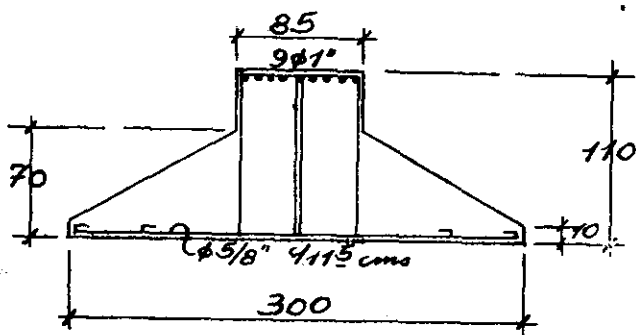


FIG. 6.

SECÇÃO A-B.



$$(L\ddot{o}ser) K_2 = \frac{105}{\sqrt{\frac{59.5}{0.85}}} = 12.55 \left\{ \begin{array}{l} \sigma_c = 46 \text{ kg/cm}^2 \\ \sigma_f = 1.500 \text{ kg/cm}^2 \end{array} \right. \quad \begin{array}{l} S_{fe} = 0.745 \times \frac{59.5}{1.05} = 42.5 \text{ cm}^2 \\ S_{fe} = 9\phi 1'' \end{array}$$

Cizalhamento

Reacção da viga simplesmente apoiada

$$A = B = \frac{2.55 \times 73.5}{2} = 95 \text{ toneladas}$$

Logo:

$$\tau_a \cong \frac{95000}{85 \times 0.9 \times 105} = 11.9 \text{ kg/cm}^2$$

O esforço cortante total T deverá ser absorvido por estribos e barras curvadas, sendo:

$$T \cong \frac{95 \times 2.55}{4 \times 0.9 \times 1.05} = 64 \text{ t} \left\{ \begin{array}{l} \text{Est. duplos } \phi 3/8'' \text{ c/25 cm} = 22 \text{ t} \\ 4 \phi 1'' \text{ curvados} = 42 \text{ t} \\ \hline 64 \text{ t} \end{array} \right.$$

A extremo rigor, poderíamos considerar estas fundações de modo idêntico à fundação $P_1 - P_2$, levando em conta os pequenos balanços laterais. Entretanto obteríamos para máximo momento flector valor próximo de 59 t. m. Na prática corrente esta redução não justifica cálculo mais rigoroso.

Estudo da Placa Altura $H = 70 \text{ cm}$ (fixada)

$$\text{Resulta (por m. l.) } \tau = \frac{24.5 \times 1.075 \times 1.0}{0.65 \times 0.9 \times 1.0} = 45.5 \text{ t/m}^2 = 4.55 \text{ kg/cm}^2$$

Momento flector:

$$M = 1/2 \times 24 \times 1.075 = 14.30 \text{ t. m}$$

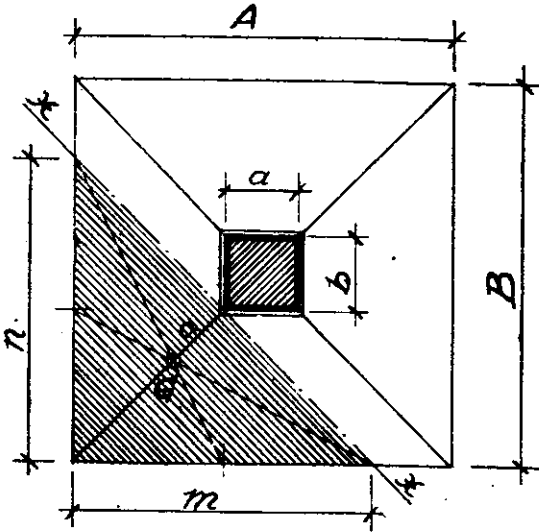
$$K_2 = \frac{65}{\sqrt{14.30}} = 17.4 \left\{ \begin{array}{l} \sigma_c = 30.5 \text{ kg/cm}^2 \\ \sigma_f = 1.500 \text{ kg/cm}^2 \end{array} \right.$$

$$S_{fe} = 0.724 \times \frac{14.3}{0.65} = 16.0 \text{ cm}^2 = \phi 5/8'' \text{ c/11.5 cm}$$

Fundação P_{10} (isolada) $P = 138$ toneladas; Dimensões do pilar: $a \times b = 55 \times 55 \text{ cm}$.Altura da blóco junto às faces do pilar: $h = \frac{138.000}{4 \times 55 \times 8} = 79 \text{ cm}$ $\tau = 8.0 \text{ kg/cm}^2$. Adotamos $H = 90 \text{ cm}$ Dimensões da placa: $S = A \times B = 2.5 \times 2.5 = 6.22 \text{ m}^2$ Logo: $\sigma_s = \frac{138}{6.25} = 22.1 \text{ t/m}^2 = 2.21 \text{ kg/cm}^2$ (figura 7)

Momento flector: Considerado em relação à secção XX, paralela à diagonal, sendo $M_x = G \times a$, onde G = resultante das reacções do sólo na área triangular hachurada, e a = distância do centro de pressões da área triangular à secção XX.

FUNDAÇÃO P. 10



^A
ESQUÊMA DA ARMADURA.

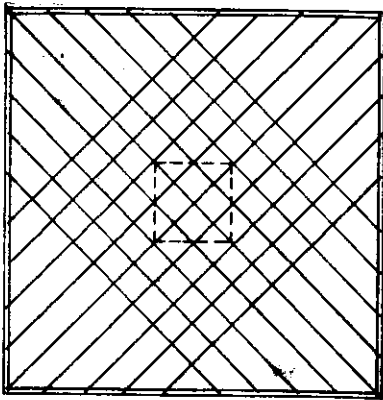
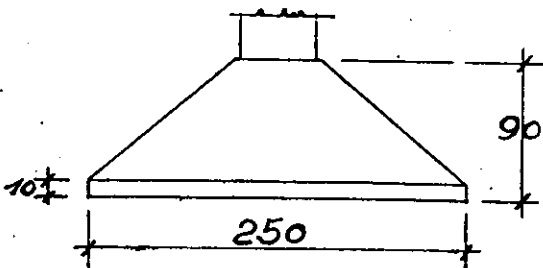


FIG. 7.



Podemos escrever:

$$M_x = \frac{m \times n}{2} \times a \times \sigma_s \quad m = (B-b) = 1.95 \text{ m.}$$

Para a base quadrada $m = n = 1.95 \text{ m}$ e $a = \frac{(B-b)}{2 \times 3} \sqrt{2} = 0.46$

Logo:
$$M_x = \frac{1.95^2}{2} \times 0.46 \times 22.1 = 19.3 \text{ t.m}$$

Em função da relação $\frac{A}{B} = \frac{a}{b}$, dispomos de tabelas que nos fornecem com rapidez o momento flector M_x .

Assim $M_x = \frac{(B-b)^2}{K} \sigma_s$, onde K é função da relação $\frac{A}{B} = \frac{a}{b}$.

Para a base quadrada $K = 8.5$,
$$M = \frac{1.95^2}{8.5} \times 22.1 = 19.3 \text{ t.m}$$

Cálculo da armadura: Para as secções triangulares sujeitas a flexão simples, o cálculo aproximado permite aplicar a fórmula da flexão simples onde devemos fazer $z = 0.8 h$. Sendo $\begin{cases} h = 0.85 \text{ m} \\ \sigma_f = 1.500 \text{ kg/cm}^2 \end{cases}$

Resulta:
$$S_{fe} = \frac{M}{\sigma_f \times z} = \frac{19.3}{1.5 \times 0.8 \times 0.85} = 19 \text{ cm}^2,$$

ou sejam 9 Φ 5/8'' em diagonal, duas vezes, em armaduras cruzadas.

Fundação $P_{11} - P_{12}$ (com alavanca)

Cargas*

$$P_{11} = 220 \text{ toneladas} \quad P_{12} = 180 \text{ toneladas}$$

Placa P_{12}

Cálculo da resultante R (figura 8).

$$R = 180 \times \frac{4.90}{4.0} = 221 \text{ t}; \quad B = 221 - 180 = 41 \text{ t}$$

Dimensões fixadas: $S = 4.2 \times 2.1 = 8.85 \text{ m}^2$

$$\sigma_s = \frac{221}{4.2 \times 2.1} = 25 \text{ t/m}^2 = 2.5 \text{ kg/cm}^2$$

Momento flector: $M = 1/2 \times 1.7^2 \times 25 = 36.0 \text{ t.m}$; $H = 110 \text{ cm}$ (fixada)

(Löser)
$$K_2 = \frac{150}{\sqrt{36}} = 17.5 \quad \begin{cases} \sigma_c = 30.5 \text{ kg/cm}^2 \\ \sigma_f = 1.500 \text{ kg/cm}^2 \end{cases}$$

$$S_{fe} = 0.733 \times \frac{36}{1.05} = 24.7 \text{ cm}^2 = \Phi 3/4'' \text{ c}/11.5 \text{ cm}$$

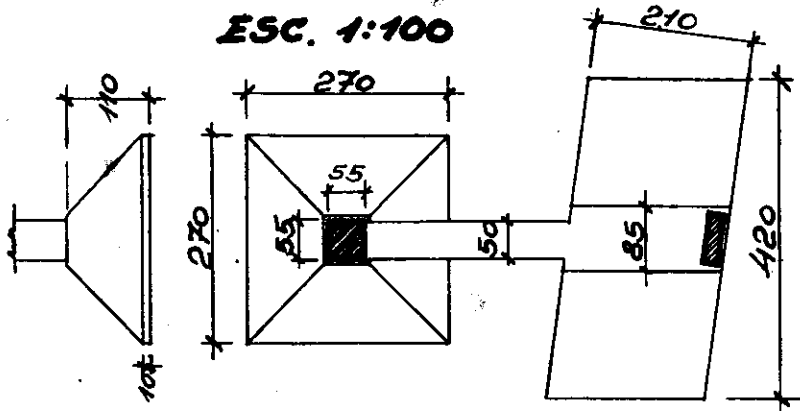
Cálculo da alavanca: (figura 8)

Momento flector: $M = 0.9 \times 180 = 162.0 \text{ t.m}$, sendo M_m o momento flector máximo a ser considerado (secção mais desfavorável).

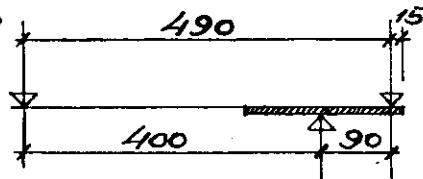
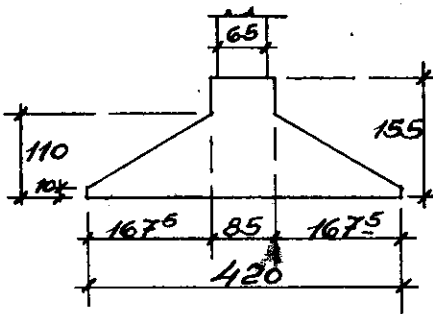
$$M_m = 41 \times 2.95 = 121.0 \text{ t.m}$$

FUNDAÇÃO P.H E P.12

ESC. 1:100

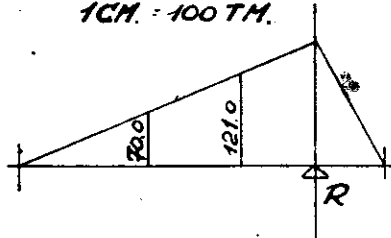


SECÇÃO TRANSVERSAL DA SAPATA P.12



MOMENTOS FLETÓRES

1CM. = 100 TM.



ESQUEMA DA ARMADURA

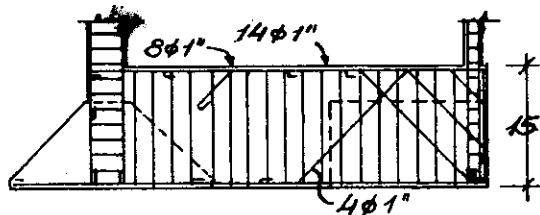
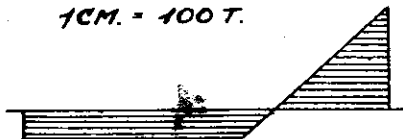


Fig. 8

ESFORÇOS CORTANTES.

1CM. = 100 T.



Dimensões da viga: $b \times d = 50 \times 155$ (fixadas)

$$(L\ddot{o}ser) \quad K_2 = \frac{150}{\sqrt{\frac{121}{0.5}}} = 9.0 \quad \left. \begin{array}{l} \sigma_c = 64.0 \text{ kg/cm}^2 \\ \sigma_f = 1.500 \text{ kg/cm}^2 \end{array} \right\} S_{fe} = 0.766 \times \frac{121}{1.50}$$

$$S_{fe} = 62.0 \text{ cm}^2 = 14 \phi 1''$$

Para $M_1 = 70.0 \text{ t. m}$

$$K_2 = \frac{150}{\sqrt{\frac{70}{0.5}}} = 12.6 \quad \left. \begin{array}{l} \sigma_c = 45.0 \text{ kg/cm}^2 \\ \sigma_f = 1.500 \text{ kg/cm}^2 \end{array} \right\} S_{fe} = 0.744 \times \frac{70}{1.50} = 34.6 \text{ cm}^2 = 7 \phi 1''$$

Cizalhamento

$$\text{Para } P = 180 \text{ t} \quad \tau \cong \frac{180.000}{85 \times 150 \times 0.9} \cong 15.6 \text{ kg/cm}^2$$

O esforço cortante total T deverá ser absorvido por barras curvadas, sendo $T \cong \frac{180 \times 0.75}{0.9 \times 1.5} = 100 \text{ t}$, absorvidas por $12 \phi 1''$ curvadas.

Para $B = 41,000 \text{ kg}$; $\tau_B = \frac{41.000}{50 \times 150 \times 0.9} = 6.0 \text{ kg/cm}^2$. Não serão necessários estribos nem barras curvadas — Entretanto, usaremos $\phi 3/8''$ c/25 cm e dobraremos $8 \phi 1''$ quando não mais necessárias.

Placa P_{11}

A rigor póde ser calculada para uma carga deduzida de 41 toneladas ou a reação produzida pela alavanca.

$$P = 220 - 41 = 179 \text{ toneladas}$$

Dimensão da placa: $S = 2.70 \times 2.70$ (fixada)

$$\text{Resulta: } \sigma_s = \frac{179}{2.70 \times 2.70} = 24.6 \text{ t/m}^2 = 2.46 \text{ kg/cm}^2. \text{ Altura ne-}$$

cessária da placa = H , sendo $(H - 5) = h = \frac{179000}{4 \times 55 \times 8} = 102 \text{ cm}$.

Adotámos $H = 110 \text{ cm}$, sendo $a \times b = 55 \times 55$ as dimensões do pilar.

$h =$ altura util.

$$\text{Momento flector } M = \frac{(2.70 - 0.55)^2}{8.5} \times 24.6 = 28.7 \text{ t. m}$$

$$\text{Conforme a fundação } P_{10}, S_{fe} = \frac{M}{\sigma_f \times z} = \frac{28.7}{1.5 \times 0.8 \times 1} = 22.7 \text{ cm}^2$$

$S_{fe} = 8 \phi 3/4''$ em diagonal

Fundação $P_{13} - P_{14} - P_{15}$

Cargas

$P_{13} = 88$ toneladas; $P_{14} = 69$ toneladas e $P_{15} = 103$ toneladas

$$R = P_{13} + P_{14} + P_{15} = 260 \text{ toneladas.}$$

Dimensionamento da placa: $R_x = 103 \times 4.35 + 69 \times 2.45$

$$x = \frac{463.5 + 176.8}{260} = \frac{640.3}{260} = 2.462 \text{ m}$$

Comprimento da placa:

$$A = (2.462 + 0.15) \times 2 = 5.224 \text{ m}$$

Largura B , para $\sigma_s = 2.5 \text{ kg/cm}^2$; $\sigma_s = \frac{P}{A \times B}$; $B = \frac{P}{A \times \sigma_s}$

$$B = \frac{260}{5.224 \times 25} = \frac{260}{130.6} = 1.99 \text{ m}$$

Temos assim a coincidência do centro das pressões da placa com a resultante das forças verticais.

Viga principal:

Carga uniformemente distribuida

$$q = 25 \times 1.99 = 49.75 \text{ t/m.}; \quad l = 5.22 \text{ m} \quad (\text{vão livre})$$

$$\text{Reações: } A = B = \frac{49.75 \times 5.22}{2} = 130 \text{ toneladas.}$$

Momento flector em uma secção x : $M_x = 130x - qx^2$.

Cargas concentradas: P_{13} , P_{14} e P_{15} sobre a viga com vão livre $l = 5.22 \text{ m}$. Tendo em vista a coincidência acima apontada, temos igualmente as reações.

$A = B = 130$ toneladas. Assim:

$$A = \frac{88 \times 5.07}{5.22} + \frac{69 \times 2.47}{5.22} + \frac{103 \times 0.57}{5.22} = 130 \text{ t}$$

Momento flector em uma secção x .

Para uma secção entre P_{13} e P_{14} .

$$M_x = -A_x + P_{13}(x - 0.15)$$

Para uma secção entre P_{14} e P_{15} .

$$M_x = -A_x + P_{13}(x - 0.15) + P_{14}(x - 2.75)$$

O momento flector resultante obtém-se pela soma algébrica dos momentos acima determinados ou:

$$M_x = P_{13}(x - 0.15) - \frac{qx^2}{2}, \text{ para secções entre } P_{13} \text{ e } P_{14}$$

e

$$M_x = P_{13}(x - 0.15) + P_{14}(x - 2.75) - \frac{qx^2}{2}, \text{ para secções entre } P_{14} \text{ e } P_{15}$$

Esforço cortante:

$$Q_x = dM_x = P_{13} - qx \quad \text{e} \quad Q_x = P_{13} + P_{14} - qx$$

Pelas expressões acima calculamos os momentos flectores e esforços cortantes em várias secções.

Pelo diagrama de esforços cortantes notamos existir um momento máximo entre P_{13} e P_{14} , e outro entre P_{14} e P_{15} , correspondendo a esforços cortantes nulos.

Pelo cálculo observamos que o «maximum maximorum» corresponde à secção $x = 1.768\text{m}$, entre P_{13} e P_{14} .

A seguir um resumo dos momentos resultantes calculados para várias secções:

x m	M_R t. m	x m	M_R t. m
0	0	2.50	+ 51.40
0.15	+ 5.60	2.75	+ 40.70
0.50	+ 24.00	3.00	+ 44.20
1.00	+ 49.93	3.15	+ 44.80
1.50	+ 62.90	3.50	+ 41.80
1.768	+ 64.64	4.00	+ 27.00
2.00	+ 63.30	4.65	- 10.70

A solução gráfica, pela superposição dos dois diagramas de momentos elementares da viga simplesmente apoiada com $l = 5.22$, confirma a solução analítica que acabamos de examinar.

Cálculos dos momentos elementares para a construção dos diagramas, para a solução gráfica.

Para a carga uniforme: $q = 49.75 \text{ t/m}$

$$M_0 = 1/8 \times ql^2 = \frac{49.75 \times 5.22^2}{8} = 169.45 \text{ t. m}$$

Para as cargas concentradas: $M_{14} = \frac{69 \times 2.75 \times 2.47}{5.22} = 89.78 \text{ t. m}$

$$M_{13} = \frac{88 \times 0.15 \times 5.07}{5.22} = 12.82 \text{ t. m}; \quad M_{15} = \frac{103 \times 0.57 \times 4.65}{5.22} = 52.29 \text{ t. m}$$

Momentos totais para cargas concentradas:

$$M_{13} = 130 \times 0.15 = 19.5 \text{ t. m}; \quad M_{14} = 130 \times 2.75 = 128.7 \text{ t. m};$$

$$M_{15} = 130 \times 0.57 = 74.1 \text{ t. m}$$

Com os elementos acima construímos os diagramas (Vide fig. 9)

Cálculo da viga: Dimensões fixadas $\left\{ \begin{array}{l} b_0 = 65 \text{ cm} \\ H = 125 \text{ cm} \end{array} \right.$

Verificação da secção sujeita ao máximo momento flector

$$M_m = 64.63 \text{ t. m (Löser)} \quad K_2 = \frac{120}{\sqrt{\frac{64.63}{0.65}}} = 12.1 \quad \left\{ \begin{array}{l} \sigma_c = 47.5 \text{ kg/cm}^2 \\ \sigma_f = 1.500 \text{ kg/cm}^2 \end{array} \right.$$

FUNDAÇÃO P.13, P.14 E P.15

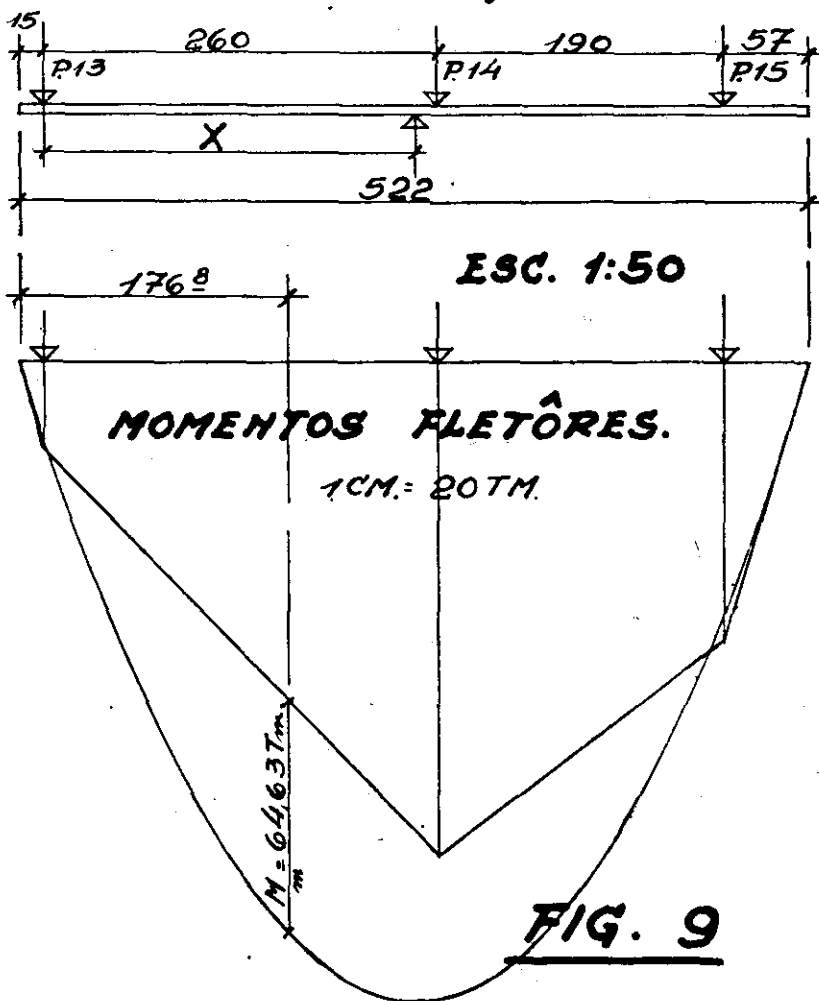
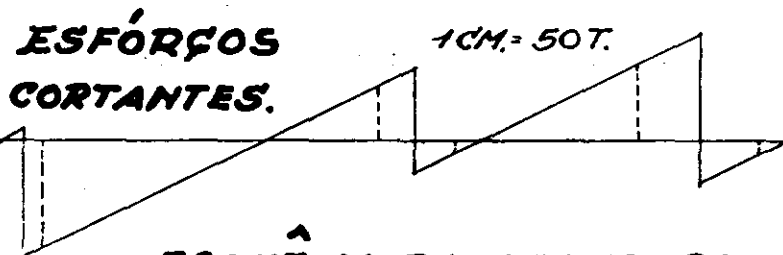
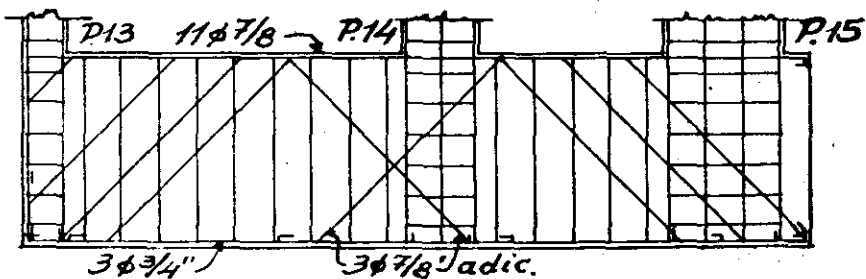


FIG. 9



ESQUÊMA DA ARMADURA



A secção S_{fe} de ferro necessario é:

$$S_{fe} = 0.746 \times \frac{64.63}{1.20} = 40.0 \text{ cm}^2 = 11 \Phi 7/8''$$

Cizalhamento

Esforço cortante máximo:

$$Q = 88 - 0.15 \times 49.75 = 83 \text{ toneladas.}$$

Logo $\tau \cong \frac{83000}{65 \times 120 \times 0.9} = 11.8 \text{ kg/cm}^2$. O esforço cortante total T deverá ser absorvido por estribos e barras curvadas, sendo

$$T \cong \frac{88 \times 1.62}{2 \times 120 \times 0.9} = 66.0 \text{ t}$$

Para $\sigma_f = 1.40 \text{ kg/cm}^2$ $\left\{ \begin{array}{l} \text{Estribos duplos } \Phi 5/16'' \text{ c}/20 \quad T_c = 14 \times 1.6 = 23 \text{ t} \\ \text{Barras curvadas} = 7 \Phi 7/8'' \quad T_b \dots \dots = 54 \text{ t} \\ \hline 66 \text{ t} < 77 \text{ t} \end{array} \right.$

Estude da placa

CORTE TRANSVERSAL

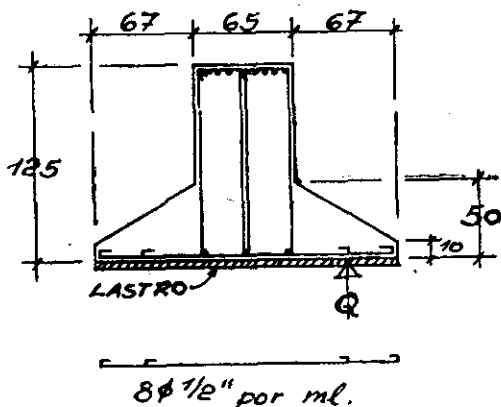


FIG. 10.

$$S = 5.22 \times 1.99 = 10.4 \text{ m}^2$$

$$\sigma_s = \frac{260}{10.4} = 25.0 \text{ t/m}^2 = 2.5 \text{ kg/cm}^2 \text{ (taxa de trabalho do s6lo)}$$

Temos: $Q_1 = 0.67 \times 1 \times 25 = 16.5 \text{ t/m}$

Seja $H = 50 \text{ cm}$ a espessura da placa junto à viga principal.

Resulta: $\tau = \frac{16.500}{100 \times 45 \times 0.9} = 4.1 \text{ kg/cm}^2$

Momento flector: $M_f = 1/2 \times 0.67^2 \times 25 = 5.7 \text{ t.m}$

$$(L\ddot{o}ser) S_{fe} = \frac{5.7}{1.5 \times 0.45 \times 0.9} = 9.4 \text{ cm}^2 = 8 \text{ } \Phi \text{ } 1/2'' \text{ por m. linear}$$

Obs.: As demais fundações calculadas são de tipos mais ou menos analogos aos que já examinamos. Para não extender demasiadamente a presente publicação, resolvemos suprimí-las.

4. — Fundações sobre estacas

Partindo do desenho n.º 1 contendo a locação dos eixos dos pilares, estudamos os varios blócos e alavancas para o caso de fundações sobre estacas, determinando os demais elementos necessarios, resultando finalmente os desenhos n.ºs 3 e 4 contendo a locação das estacas e a planta geral dos blócos de fundações.

Como fizemos para as fundações diretas, apresentaremos alguns tipos de fundações sobre estacas, considerando os mais interessantes.

Fundação $P_1 - P_2$

Cargas

$$P_1 + P_2 = R = 65 + 85 = 150 \text{ toneladas.}$$

Serão necessárias 3 estacas de 50 toneladas.

Locação das estacas:

Distancia entre eixos dos pilares P_1 e P_2 : $l = 3.20 \text{ m.}$

Distancia da resultante R referida ao eixo do pilar P_1 :

$$x = \frac{85 \times 3.20}{150} = 1.813 \text{ m}$$

Distancia d entre os eixos das estacas: $d = 1.30 \text{ m.}$

A estaca do centro deve coincidir com a resultante das cargas verticais.

Cálculo da viga principal: Trata-se de uma viga simplesmente apoiada com $l = 3.20$, com tres cargas concentradas segundo o eixo das estacas.

Na figura 11 constam os diagramas de esforços cortantes e momentos flectores.

Momentos flectores: Foram calculados pelo diagrama de esforços cortantes, para secções correspondendo aos eixos das estacas.

Assim:

$$M_1 = - 0.513 \times 65. = - 33.345 \text{ t.m}$$

$$M_2 = - 33.345 - 1.50 \times 1.30 = - 33.345 - 19.5 = - 52.845 \text{ t.m (máximo)}$$

$$M_3 = - 52.845 + 35 \times 1.30 = - 52.845 + 45.50 = - 7.345 \text{ t.m}$$

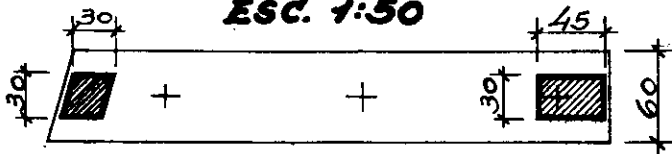
$$M_4 = - 7.345 + 7.345 + 0.087 \times 85 = 0.000 \text{ t.m}$$

Máximo momento fletor: $M_m = - 52.845 \text{ t. m.}$

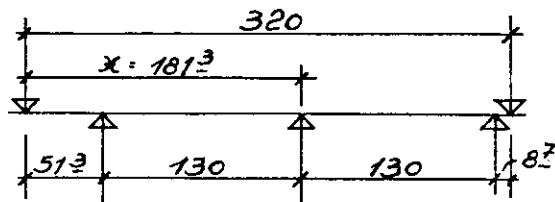
Dimensões fixadas: $H = 130 \text{ m; } b = 60 \text{ cm e } h = 120 \text{ cm}$

FUNDAÇÃO P.1 E P.2

ESC. 1:50



LOCAÇÃO DAS ESTACAS.



MOMENTOS FLETÔRES.

* 1 CM = 20 TM.

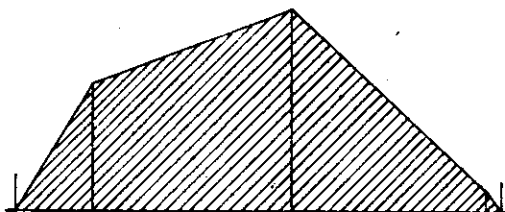
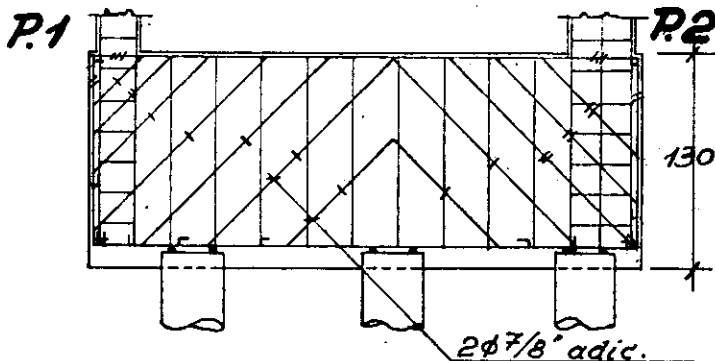


FIG. 11

ESQUÊMA DA ARMADURA.



ESFORÇOS CORTANTES.

1 CM. = 50 T.



$$(L\ddot{o}ser) \quad K_2 = \frac{120}{\sqrt{\frac{52.845}{0.6}}} = 12.80 \quad \left\{ \begin{array}{l} \sigma_c = 44.0 \text{ kg/cm}^2 \\ \sigma_f = 1.500 \text{ kg/cm}^2; \end{array} \right.$$

$$S_{fe} = 0.742 \times \frac{52.845}{1.20} = 32.30 \text{ cm}^2 = 9 \phi 7/8''$$

Cizalhamento

O mximo verifica-se entre os eixos do pilar P_1 e da estaca E_1 , sendo $\tau \cong \frac{65.000}{60 \times 120 \times 0.9} = 10.0 \text{ kg/cm}^2$,

Esforo cortante total: $T \cong \frac{65 \times 0.513}{0.9 \times 1.20} = 27$ toneladas, absorvido por $3 \phi 7/8''$ + estribos duplos $\phi 5/16''$ c/25 (pelas nossas tabelas).

FUNDAAO P.3

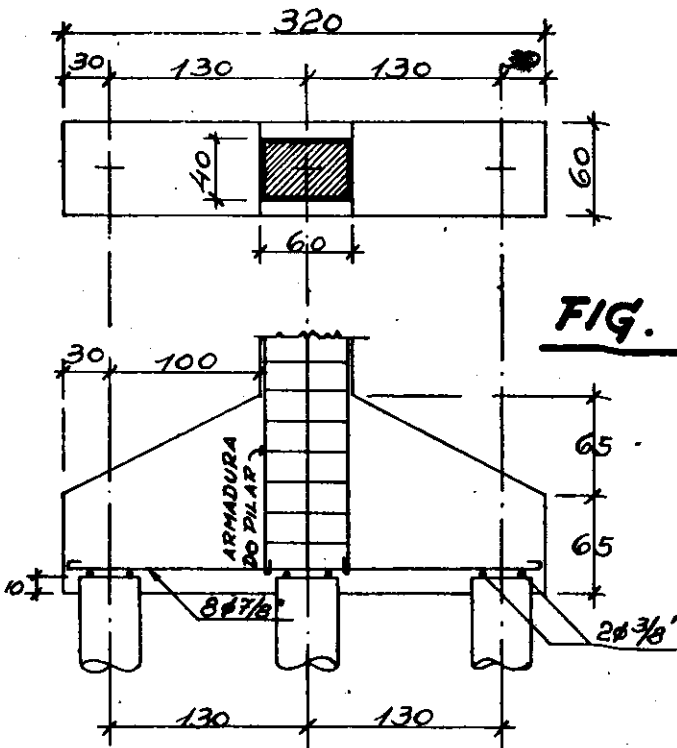


FIG. 12

ESC. 1:50

Fundao P_3 (isolada)

Carga $P = 146$ toneladas.

Bloco de fundao sobre 3 estacas alinhadas de 50 toneladas.

Carga por estaca: $P_1 = \frac{146}{3} = 48.7$ toneladas.

Dimenses do bloco: $H = 130 \text{ cm}$, $h = 120 \text{ cm}$, $b = 60 \text{ cm}$.

Cizalhamento

$\tau = \frac{48.700}{60 \times 120 \times 0.9} = 7.5 \text{ kg/cm}^2$. Não serão necessários estribos nem barras curvadas.

Momento flector: Sendo $d = 1.30 \text{ m}$ a distância entre estacas, podemos escrever: $M = 1.30 \times 48.70 = 63.0 \text{ t.m.}$

Entretanto, na secção mais desfavorável: $M = 1 \times 48.70 = 48.70 \text{ t.m.}$

$$(L\ddot{o}ser) K_2 = \frac{120}{\sqrt{\frac{48.7}{0.60}}} = 13.30 \left\{ \begin{array}{l} \sigma_c = 42 \text{ kg/cm}^2 \\ \sigma_f = 1500 \text{ kg/cm}^2 \end{array} \right.$$

$$S_{fc} = 0.739 \times \frac{48.7}{1.20} = 30.0 \text{ cm}^2 = 8 \text{ } \Phi \text{ } 7/8''$$

Fundação $P_3 - P_{11} - P_{12}$

Os blocos P_3 e P_{12} serão ligados ao bloco P_{11} pelas alavancas A_1 e A_2 , respectivamente.

Estudaremos em primeiro lugar o sistema formado por P_3 e P_{11}

Cargas

Pilar $P_3 = 117.0 \text{ t.}$ Pelo sistema adotado a resultante R é:

$$R = 117 \times \frac{6.80}{6.20} = 129. \text{ t.}; B = 129 - 117 = 12 \text{ t.}$$

Serão necessárias duas estacas de 65 toneladas locadas simetricamente segundo o eixo da alavanca e distanciadas 65 cm da divisa lateral do terreno.

Cálculo da viga principal (Alavanca 1)

Momento flector: $M = - 0.60 \times 117 = - 70.0 \text{ t.m}$

Máx. Mom. flector: $M_m = - 66.0 \text{ t.m}$

Dimensões da viga

$$b = 35 \text{ cm, } H = 60 \text{ a } 120 \text{ cm (variavel).}$$

$$(L\ddot{o}ser) K_2 = \frac{115}{\sqrt{\frac{66}{0.35}}} = 8.40 \text{ (Deve ser prevista armadura dupla).}$$

$$\text{Para } \left\{ \begin{array}{l} \sigma_c = 70 \text{ kg/cm}^2 \\ \sigma_f = 1500 \text{ kg/cm}^2 \end{array} \right. \left\{ \begin{array}{l} S_{fc} = 46.10 \text{ cm}^2 = 10 \text{ } \Phi \text{ } 1'' \\ S'_{fc} = 7.7 \text{ cm}^2 = 2 \text{ } \Phi \text{ } 7/8'' \end{array} \right.$$

Cizalhamento

Na secção menos favorável, junto à placa P_{11} , $B = 12$ toneladas, sendo $\tau_B = \frac{12000}{35 \times 55 \times 0.9} = 7.0 \text{ kg/cm}^2 < 8.0 \text{ kg/cm}^2$.

Usaremos, entretanto, estribos $\Phi 5/16''$ c/25 cm e dobraremos as barras quando não mais necessárias.

LOCAÇÃO DAS ESTACAS

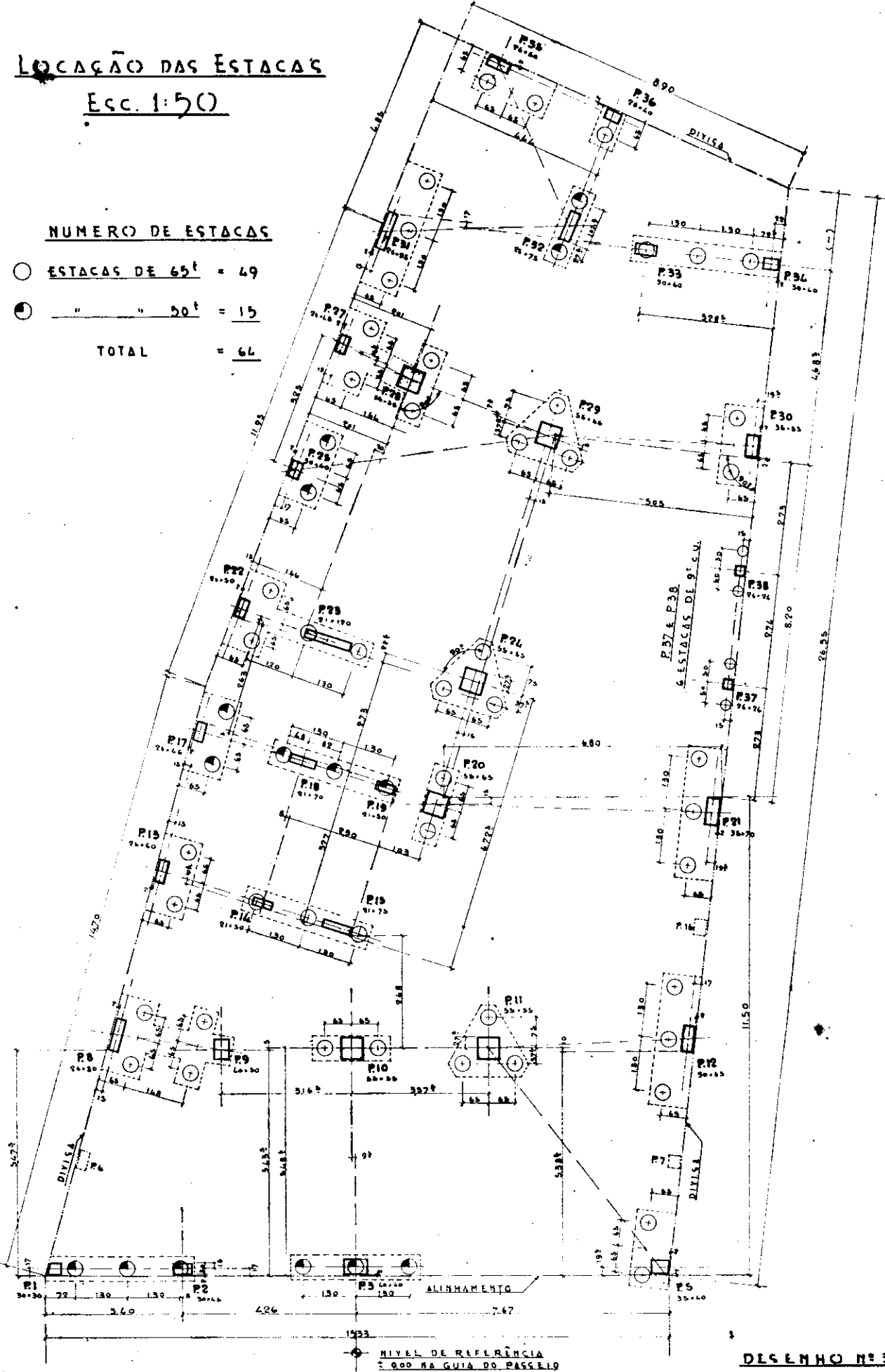
Ecc. 1:50

NUMERO DE ESTACAS

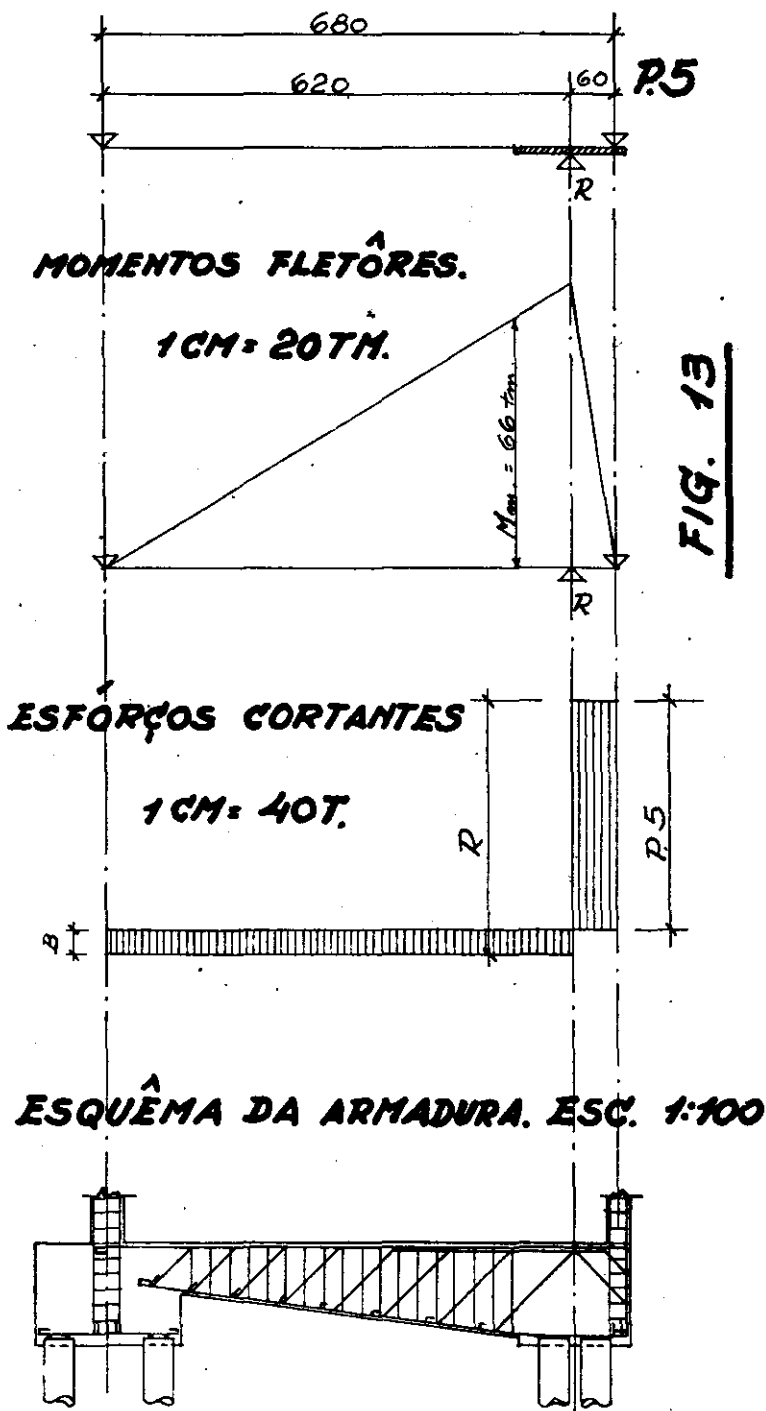
○ ESTACAS DE 65^t = 49

● " " 50^t = 15

TOTAL = 64



ALAVANCA A. 1



Placa P₅

$$R = 129.0 \text{ t.} \quad \text{Momento flector } M = \frac{129}{8} \times 1.30 = 21 \text{ t.m}$$

$$K_2 = \frac{115}{\sqrt{\frac{21}{0.95}}} = 24.3 \quad S_{fe} = \frac{0.723 \times 21}{1.15} = 1.45 \text{ cm}^2 = 6 \Phi 3/4''$$

$$\sigma_c = 20.5 \text{ kg/cm}^2 \quad \text{e} \quad \sigma_f = 1.500 \text{ kg/cm}^2.$$

Estudaremos, a seguir, o sistema formado por P₁₂ e P₁₁.

Cargas

Pilar P₁₂, $P = 180 \text{ t}$, sendo $R = 180 \times \frac{489}{440} = 200 \text{ t}$.

Serão necessárias três estacas alinhadas, distanciadas 65 cm. da divisa lateral e locadas simetricamente em relação ao eixo da alavanca.

Cálculo da viga principal (Alavanca).

Dimensões fixadas: $b = 40 \text{ cm}$, $H = 120 \text{ a } 60 \text{ cm}$ (variavel).

Momento flector

$$(L\ddot{o}ser) \begin{cases} M = -0.49 \times 180 = -88 \text{ t.m} \\ M_m = -83 \text{ t.m} \end{cases} \quad K_2 = \frac{115}{\sqrt{\frac{83}{0.4}}} = 7.8$$

Será necessária armadura dupla, para

$$\sigma_c = 70 \text{ kg/cm}^2 \quad \text{e} \quad \sigma_f = 1.500 \text{ kg/cm}^2.$$

Calculamos $\begin{cases} S_{fe} = 11 \Phi 1'' \\ S_{fe}' = 3 \Phi 7/8'' \end{cases}$

Placa P₁₂

$$M = \frac{200}{3} \times 1.30 = 86.5 \text{ t.m}$$

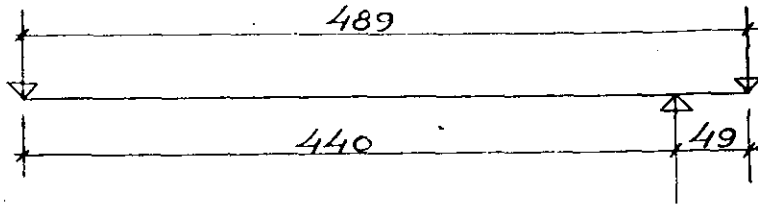
$$K_2 = \frac{115}{\sqrt{\frac{86.5}{0.95}}} = 12.1 \quad \begin{cases} \sigma_c = 48.0 \text{ kg/cm}^2 \\ \sigma_f = 1.500 \text{ kg/cm}^2 \end{cases}$$

$$S_{fe} = 0.767 \times \frac{86.5}{1.15} = 56.0 \text{ cm}^2 = 11 \Phi 1''$$

Cizalhamento

$$\tau = \frac{200.000}{3 \times 95 \times 0.8 \times 1.20} = 7.4 \text{ kg/cm}^2 < 8.0 \text{ kg/cm}^2.$$

ALAVANCA. A. 2



MOMENTOS FLETÔRES.

1 CM. = 20 T.M.

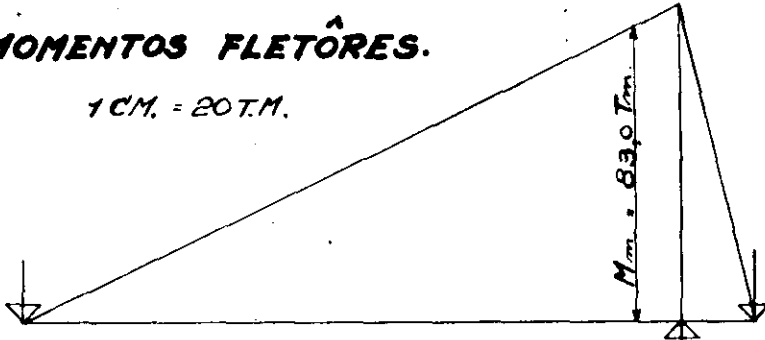
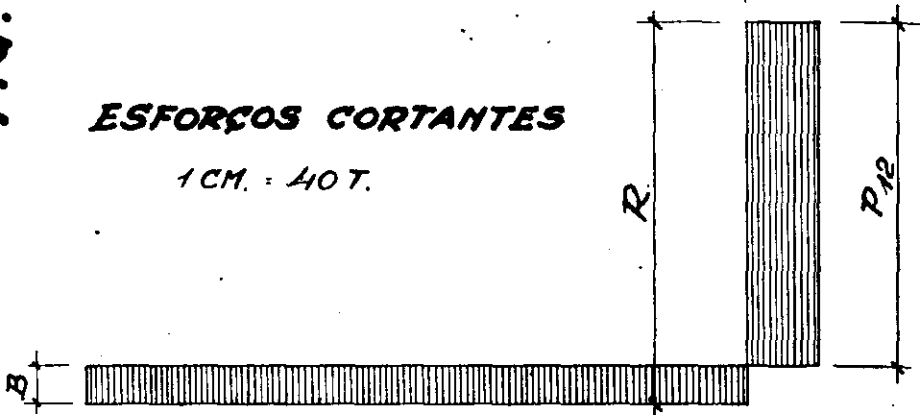


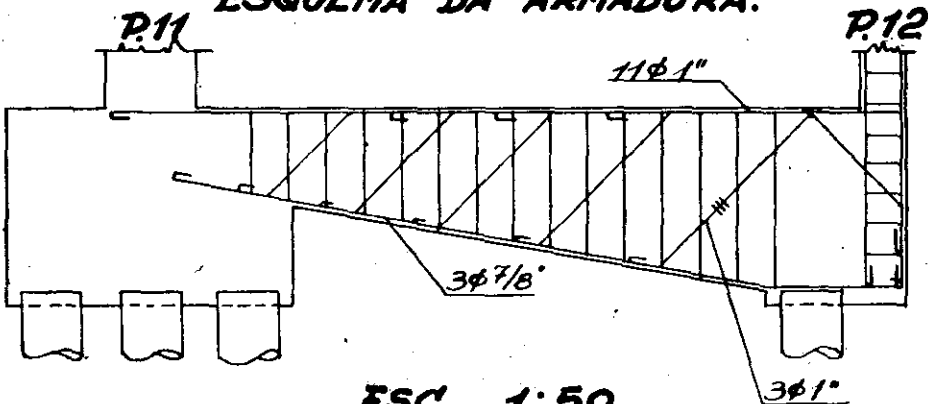
FIG. 14

ESFORÇOS CORTANTES

1 CM. = 40 T.



ESQUÊMA DA ARMADURA.



ESC. 1:50

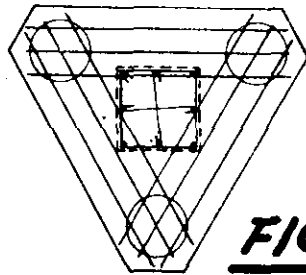
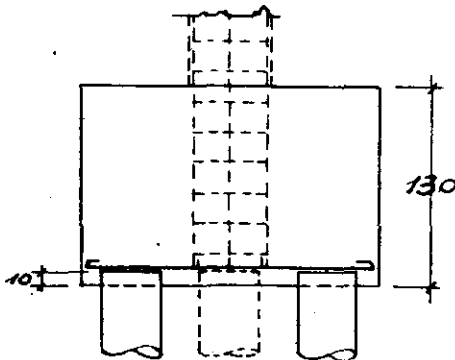
Pilar P_{11}

A fundação será calculada para uma carga P_{11} , consideradas as reações das alavancas A_1 e A_2 . Assim $P = 220 - 12 - 5 = 203$ toneladas, ou sejam três estacas locadas segundo os vértices de um triângulo equilátero, distanciadas de 1.30 m.

$$\text{Momento flector } M = 1/8 \times \frac{190}{3} \times 1.30 = 10.3 \text{ t. m}$$

$$S_{fe} = \frac{10.3}{1.5 \times 0.8 \times 1.2} = 7.2 \text{ cm}^2 = 3 \phi 3/4''$$

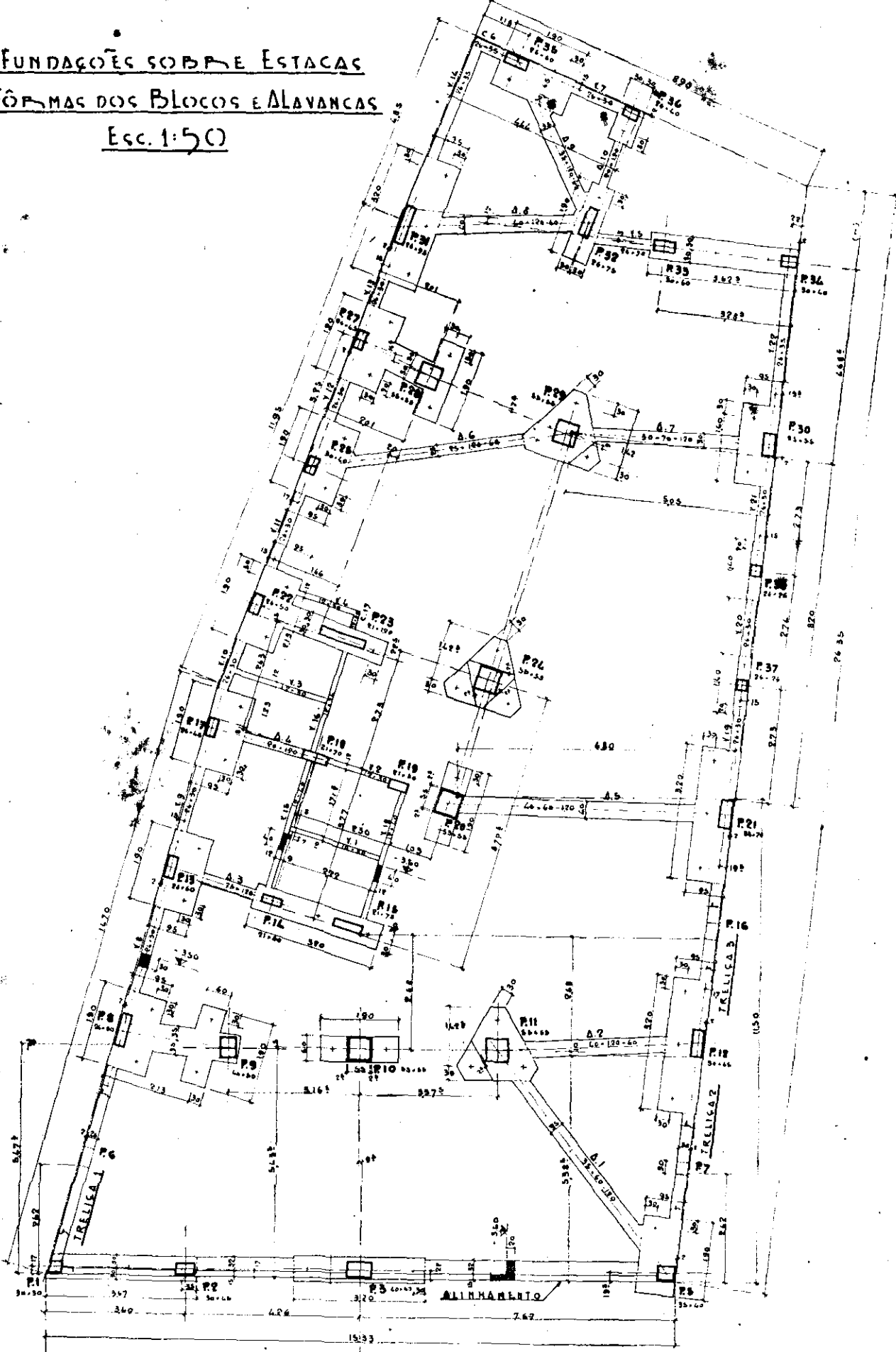
Serão necessários $3\phi 3/4''$ (3 vezes) dispostas sobre as cabeças das estacas, consideradas duas a duas.

FUNDAÇÃO P. 11.**FIG. 15.****Observações Complementares**

a) Os pilares P_6 , P_7 e P_{10} nascem no 1.º tétó e são suportados por um sistema em treliça.

b) Os blocos com três estacas dispostas segundo os vértices de um triângulo, são calculados considerando-se uma distribuição uniforme de tensões sendo então possível considerá-las duas a duas como sistema independente.

FUNDAÇÕES SOBRE ESTACAS
 FORMAS DOS BLOCOS E ALAVANCAS
 Esc. 1:50



NIVEL DE REFERÊNCIA
 2.90 NA GUIA DO PASSAD

DESENHO Nº 4

c) Critério análogo seguimos quando calculamos blocos com duas estacas.

Nos dois casos conseguimos uniforme distribuição de tensões, a que nos referimos, com a altura do bloco fixada $H = 120$ cm.

Assim, apesar de sensível aumento no volume de concreto, conseguimos notável redução no custo, devido a grande economia na armadura.

d) Os demais blocos sobre estacas calculam-se de modo idêntico àqueles estudados acima.

Limitámo-nos tão somente a incluí-los, conforme foram calculados, no desenho de execução n.º 3.

5. — Medição dos Volumes de Concreto Armado

Foram efetuados estudos completos das fundações, sejam diretas sobre o sólo, sejam sobre estacas, resultando as plantas gerais e definitivas que anexamos ao presente trabalho (desenhos ns. 2 a 4).

A título de curiosidade apresentamos os resultados das medições das quantidades de concreto.

Fundações diretas	109 m ³
" sobre estacas	75 m ³

Custo da fundação direta, à razão de Cr. \$500.00 m³: importa em Cr. \$54.500,00.

Custo da fundação sobre estacas: importa em Cr. \$37.500,00. — Acrescendo cerca de Cr. \$150.000,00 para o estaqueamento, verificamos o custo total de Cr. \$187.500,00, ou sejam Cr. \$137.000,00 mais que no caso das fundações diretas.

Conclusão. Em terrenos normais, com $\sigma_c = 2.5$ kg/cm², as fundações sobre estacas, não sendo necessárias sob o ponto de vista de estabilidade, são contra-indicadas sob o ponto de vista econômico.